

**Приложение 1** к статье *В. Н. Бабенко, А. О. Брагина, И. В. Чадаевой, А. Л. Маркель, Ю. Л. Орлова «Альтернативный сплайсинг в отделах головного мозга селектированных по агрессивности крыс» (Молекулярная биология», том 51, №5 2017 г.)*

Таблица 1. Статистика числа ридов на каждой стадии фильтрации

| <b>Номер животного (номер образца)</b> | <b>Отдел головного мозга</b> | <b>Линия</b> | <b>Кол-во ридов, млн</b> | <b>Кол-во ридов после фильтрации, млн</b> | <b>Кол-во картированных ридов, млн (% исходных)</b> |
|----------------------------------------|------------------------------|--------------|--------------------------|-------------------------------------------|-----------------------------------------------------|
| 1 (1)                                  | Гипоталамус                  | Ручные       | 22,18                    | 17,09 (76,32%)                            | 16,18 (94,7%)                                       |
| 1 (2)                                  | ПСМ                          | Ручные       | 22,97                    | 17,51 (76,22%)                            | 16,6 (94,8%)                                        |
| 1 (3)                                  | ПСВ                          | Ручные       | 22,19                    | 16,98 (76,53%)                            | 16,15 (95,1%)                                       |
| 2 (4)                                  | Гипоталамус                  | Ручные       | 21,84                    | 16,84 (76,35%)                            | 16,01 (95,1%)                                       |
| 2 (5)                                  | ПСМ                          | Ручные       | 22,01                    | 17,13 (76,74%)                            | 16,32 (95,2%)                                       |
| 2 (6)                                  | ПСВ                          | Ручные       | 20,52                    | 15,86 (77,29%)                            | 15,1 (95,2%)                                        |
| 3 (7)                                  | Гипоталамус                  | Агрессивные  | 21,02                    | 16,33 (77,71%)                            | 15,57 (95,3%)                                       |
| 3 (8)                                  | ПСМ                          | Агрессивные  | 22,5                     | 17,33 (77,04%)                            | 16,56 (95,5%)                                       |
| 3 (9)                                  | ПСВ                          | Агрессивные  | 20,64                    | 15,75 (76,32%)                            | 15,05 (95,5%)                                       |
| 4 (10)                                 | Гипоталамус                  | Агрессивные  | 21,21                    | 16,43 (77,46%)                            | 15,75 (95,8%)                                       |
| 4 (11)                                 | ПСМ                          | Агрессивные  | 22,4                     | 17,14 (72,12%)                            | 15,24 (95,1%)                                       |
| 4 (12)                                 | ПСВ                          | Агрессивные  | 21,16                    | 15,76 (73,41%)                            | 15,16 (93,2%)                                       |

Таблица 2. Описание выборки генов имеющий достоверно различный сплайсинг между образцами агрессивных и мирных особей достоверно различающихся генов. Достоверные на уровне FDR<0.05 значения окрашены желтым, высокодостоверные значения выделены полужирным шрифтом.

| Транскрипт   | FDR<br>ПСМ | FDR<br>ПСВ        | FDR<br>ГИП      | Описание гена                                                                             |
|--------------|------------|-------------------|-----------------|-------------------------------------------------------------------------------------------|
| NM_101106316 | 1          | 0.0314186         | 0.605365        | phosphatidylserine synthase 2                                                             |
| NM_001258011 | 0.001148   | <b>4.99E-07</b>   | <b>4.35E-07</b> | small nucleolar RNA host gene 11 (non-protein coding)                                     |
| NM_145670    | 0.003089   | 0.296933          | 0.14421         | breast carcinoma-amplified sequence 1 homolog                                             |
| NM_001108290 | 0.003089   | 0.584198          | 0.965261        | C-Jun-amino-terminal kinase-interacting protein 4                                         |
|              |            |                   |                 | methionine-R-sulfoxide reductase B2, mitochondrial precursor                              |
| NM_001031660 | 0.008844   | 0.598556          | 0.065377        | LIM and calponin homology domains-containing protein 1                                    |
| NM_001191678 | 0.008844   | <b>8.53E-05</b>   | 0.301128        | zinc transporter 9                                                                        |
| NM_001109088 | 0.153876   | 0.184752          | <b>0.014528</b> | tumor protein D54                                                                         |
| NM_198744    | 0.201581   | 0.0360898         | 0.520488        | INO80 complex subunit E                                                                   |
| NM_001013900 | 0.440789   | <b>8.39E-05</b>   | 0.018048        | inter-alpha-trypsin inhibitor heavy chain H3 precursor                                    |
| NM_017351    | 0.594423   | 0.0972966         | <b>0.02442</b>  | myotubularin-related protein 5                                                            |
| NM_001271173 | 0.966547   | 0.0201457         | <b>0.208143</b> | clathrin light chain A                                                                    |
| NM_031974    | 0.997234   | 0.0270416         | 0.72458         | dematin                                                                                   |
| NM_001108385 | 1          | 0.885759          | <b>3.33E-06</b> | myc box-dependent-interacting protein 1                                                   |
| NM_053959    | 1          | 0.641531          | <b>5.88E-06</b> | endophilin-B2                                                                             |
| NM_001009692 | 1          | <b>1.17E-06</b>   | <b>1.36E-04</b> | periphilin-1                                                                              |
| NM_001108992 | 1          | 0.33142           | 0.008719        | phosphatidate phosphatase LPIN1                                                           |
| NM_001012111 | 1          | 0.483             | 0.01458         | vascular endothelial growth factor B precursor                                            |
| NM_053549    | 1          | 0.010471          | 0.018048        | fibronectin precursor                                                                     |
| NM_019143    | 1          | 0.116489          | 0.018048        | brain-specific angiogenesis inhibitor 2 precursor                                         |
| NM_001107914 | 1          | 0.314879          | 0.018048        | C-terminal-binding protein 1                                                              |
| NM_019201    | 1          | 0.760832          | 0.018048        | phosphatidylcholine:ceramide cholinophosphotransferase 1                                  |
| NM_181386    | 1          | 1                 | 0.018048        | arginine-serine-rich coiled-coil protein 2                                                |
| NM_001014128 | 1          | 0.691722          | 0.018484        | 28S ribosomal protein S35, mitochondrial                                                  |
| NM_001106628 | 1          | 0.14679           | 0.02442         | calcium/calmodulin-dependent protein kinase type II subunit delta                         |
| NM_012519    | 1          | 0.385247          | 0.02442         | ATP-binding cassette sub-family F member 1                                                |
| NM_001109883 | 1          | 0.00590827        | 0.032944        | epidermal growth factor receptor substrate 15                                             |
| NM_001009424 | 1          | 0.691722          | 0.035017        | CUGBP Elav-like family member 6                                                           |
| NM_001106827 | 1          | 0.230003          | 0.040178        | sarcolemmal membrane-associated protein von Willebrand factor A domain-containing protein |
| NM_001106060 | 1          | 0.361478          | 0.040178        | 5B2                                                                                       |
| NM_001134535 | 1          | <b>0.0360898</b>  | 0.067509        | UPF0609 protein C4orf27 homolog                                                           |
| NM_001169105 | 1          | <b>0.00898409</b> | 0.084474        | proto-oncogene tyrosine-protein kinase Src                                                |
| NM_031977    | 1          | <b>0.00984164</b> | 0.084544        |                                                                                           |

|              |   |                   |          |                                                                                                    |
|--------------|---|-------------------|----------|----------------------------------------------------------------------------------------------------|
| NM_057200    | 1 | <b>0.0267992</b>  | 0.091961 | kinesin-like protein KIF1B                                                                         |
| NM_013137    | 1 | <b>0.0277679</b>  | 0.284801 | epithelial discoidin domain-containing receptor 1 precursor                                        |
| NM_001170468 | 1 | <b>0.0374783</b>  | 0.31771  | apoptotic chromatin condensation inducer in the nucleus                                            |
| NM_001107123 | 1 | <b>0.0425159</b>  | 0.31771  | trinucleotide repeat-containing gene 18 protein                                                    |
| NM_001025291 | 1 | <b>5.43E-04</b>   | 0.318729 | myelin basic protein isoform 1                                                                     |
| NM_001191080 | 1 | <b>0.0056759</b>  | 0.322789 | golgin subfamily A member 4                                                                        |
| NM_001109438 | 1 | <b>0.0295309</b>  | 0.343074 | MAP7 domain-containing protein 1                                                                   |
| NM_023027    | 1 | <b>0.0425159</b>  | 0.394329 | tRNA selenocysteine 1-associated protein 1                                                         |
| NM_001029911 | 1 | <b>0.0270416</b>  | 0.444226 | citron Rho-interacting kinase                                                                      |
| NM_001106842 | 1 | <b>0.0434296</b>  | 0.464582 | sentrin-specific protease 6                                                                        |
| NM_001191907 | 1 | <b>0.00898409</b> | 0.622051 | putative ATP-dependent RNA helicase DHX57 peptidyl-glycine alpha-amidating monooxygenase precursor |
| NM_013000    | 1 | <b>2.20E-05</b>   | 0.652023 | cell adhesion molecule 1 precursor                                                                 |
| NM_001012201 | 1 | <b>0.00809645</b> | 0.684209 | protein max                                                                                        |
| NM_022210    | 1 | <b>1.99E-04</b>   | 0.690989 | 7-methylguanosine phosphate-specific 5'-nucleotidase                                               |
| NM_001007723 | 1 | <b>0.00416</b>    | 0.690989 | clathrin coat assembly protein AP180                                                               |
| NM_031728    | 1 | <b>0.0177588</b>  | 0.690989 | target of Myb protein 1                                                                            |
| NM_001008365 | 1 | <b>0.0360898</b>  | 0.690989 | amyloid beta A4 precursor protein-binding family A member 1                                        |
| NM_031779    | 1 | <b>0.0267992</b>  | 0.693292 | Golgin subfamily A member 2                                                                        |
| NM_022596    | 1 | <b>0.0333922</b>  | 0.701625 | BUB3-interacting and GLEBS motif-containing protein ZNF207                                         |
| NM_001039020 | 1 | <b>0.0467878</b>  | 0.746012 | SH3 and multiple ankyrin repeat domains protein 1                                                  |
| NM_031751    | 1 | <b>0.0416527</b>  | 0.754929 | dnaJ homolog subfamily B member 6                                                                  |
| NM_001013209 | 1 | <b>0.0270416</b>  | 0.771597 | G kinase-anchoring protein 1                                                                       |
| NM_001012160 | 1 | <b>0.0447696</b>  | 0.773071 | glutamate receptor ionotropic, NMDA 1 isoform 1a precursor                                         |
| NM_017010    | 1 | <b>0.0132366</b>  | 0.888971 | neutral alpha-glucosidase AB                                                                       |
| NM_001106334 | 1 | <b>2.08E-06</b>   | 0.89564  | protein kinase C and casein kinase substrate in neurons 2 protein                                  |
| NM_130740    | 1 | <b>0.0118077</b>  | 0.907759 | cAMP-dependent protein kinase inhibitor alpha                                                      |
| NM_053772    | 1 | <b>0.0333922</b>  | 0.932248 |                                                                                                    |

## Приложение 1

Рисунок 1. График анализа главных компонент, построенный по профилю экспрессии 97 транскриптов с достоверным отличием мирных и агрессивных крыс профиля частот изоформ каждого гена в каждом отделе мозга. Овалами обозначены кластеры образцов отделов мозга. Выброс одного из образцов окрашен красным.

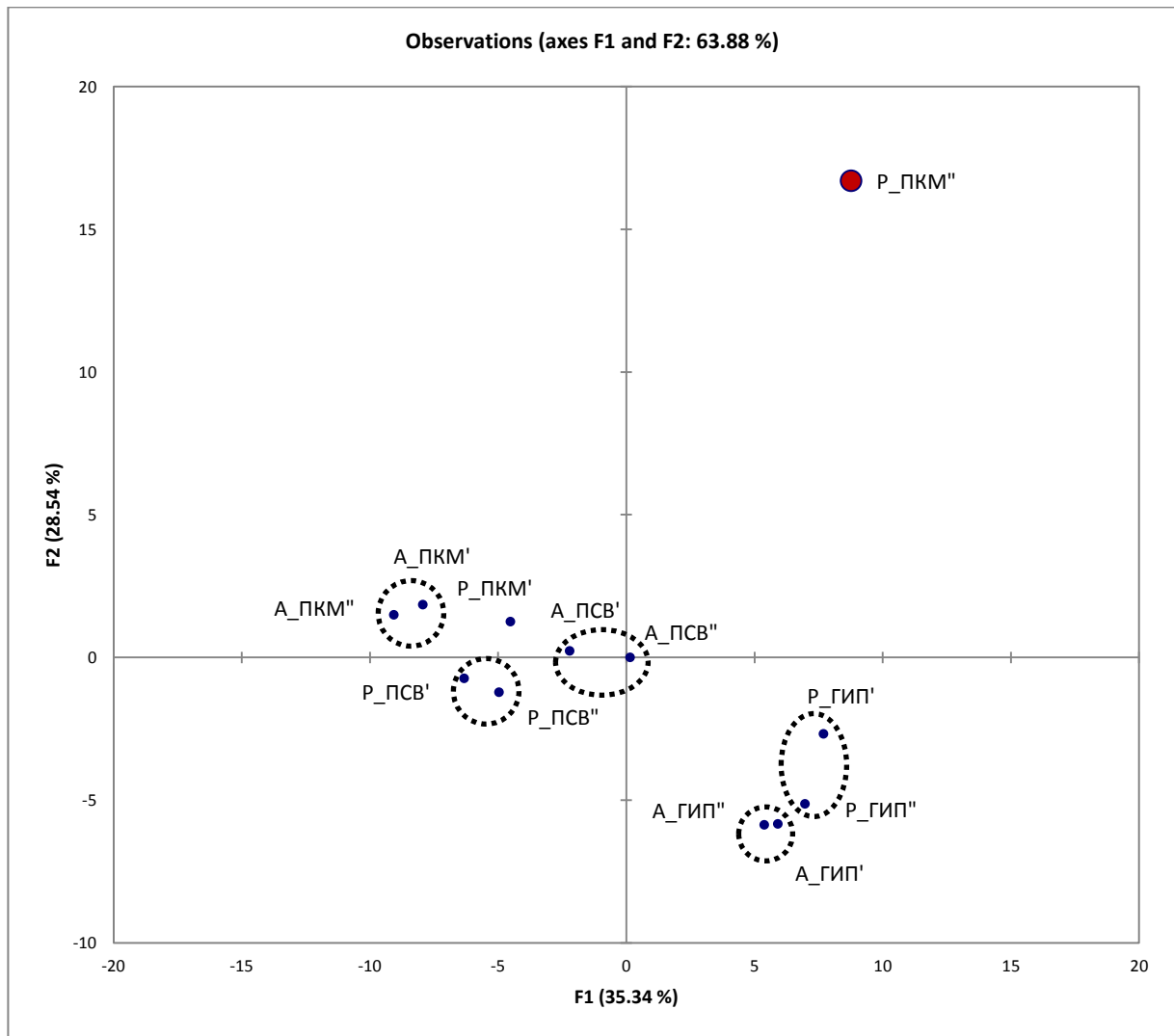


Рисунок 2. Распределение FPKM в изученных образцах и альтернативных изоформах гена *Grin1*. Р – ручные крысы, А – агрессивные крысы. Обозначения изоформ указано в рис. 3

